

## 二方向連続直交異方性矩形板の安定

九州大学工学部 正員 山崎 徳也

正員 彦坂 黙

大学院 学生員 ○葛城幸一郎

## 1. 緒言

先に著者らは二方向連続薄方性矩形板の座屈荷重算定法を提示し、解析結果と併せ報告したが、本研究は、前記手法を直交異方性矩形板より構成される二方向連続矩形板に拡張応用し、かかる連続板が図-1のごとく互いに垂直な二方向から周辺直圧力を受ける場合の安定問題の解法を提示するものである。

## 2. たわみ角一端モーメント関係式の誘導

図-2のごとく2辺の長さが  $a$ ,  $b$  の直交異方性矩形板が単位幅あたり  $N_x$ ,  $N_y$  なる中立面内の等分布圧縮力を受ける場合のたわみ曲面の微分方程式は次式であらわされる。

$$D_x \frac{\partial^2 w}{\partial x^2} + 2H \frac{\partial^2 w}{\partial x \partial y} + D_y \frac{\partial^2 w}{\partial y^2} + N_x \frac{\partial^2 w}{\partial x^2} + N_y \frac{\partial^2 w}{\partial y^2} = 0 \quad (1)$$

ここに

$$D_x = E_x k^3 / 12(1 - \nu_x \nu_y)$$

$$D_y = E_y k^3 / 12(1 - \nu_x \nu_y)$$

$$H = \nu_x D_y + 2D_{xy}, \quad D_{xy} = G_{xy} k^3 / 12$$

$\nu_x, \nu_y; x, y$  方向のヤング率

$\nu_x, \nu_y; x, y$  方向のポアソン比  $G_{xy}$ ; せん断弾性係数  $k$ ; 枠厚

いま式(1)を満足するたわみ  $w$  の一般解が次式で表わされるものとする。

$$w = \sum_{n=1}^{\infty} X_n \sin \frac{n\pi}{a} y + \sum_{m=1}^{\infty} Y_m \sin \frac{m\pi}{b} x \quad (2)$$

ここに  $X, Y$  はそれぞれ  $x, y$  のみの函数であり式(2)を式(1)に代入して解けば、 $X, Y$  がそれぞれ次式のごとくえられる。

$$X = C_{n1} \cosh n\pi \lambda_1 z + C_{n2} \sinh n\pi \lambda_1 z + C_{n3} \cosh n\pi \lambda_2 z + C_{n4} \sinh n\pi \lambda_2 z \quad (3)$$

$$Y = D_{m1} \cosh m\pi \mu_1 \eta + D_{m2} \sinh m\pi \mu_1 \eta + D_{m3} \cosh m\pi \mu_2 \eta + D_{m4} \sinh m\pi \mu_2 \eta \quad (3)$$

ただし  $C_{n1} \sim C_{n4}, D_{m1} \sim D_{m4}$  は積分定数。

$$\lambda_1 = \frac{a}{B} \sqrt{\frac{H}{D_x} \left[ \left\{ n^2 - \frac{R}{2} \left( \frac{a}{B} \right)^2 \right\} \pm \sqrt{\left\{ n^2 - \frac{R}{2} \left( \frac{a}{B} \right)^2 \right\}^2 - \frac{D_x D_y}{H^2} n^2 \left( n^2 - \frac{H}{D_x} Q \right)} \right]}$$

$$\mu_1 = \frac{b}{a} \sqrt{\frac{H}{D_y} \left[ \left\{ m^2 - \frac{R}{2} \left( \frac{b}{a} \right)^2 \right\} \pm \sqrt{\left\{ m^2 - \frac{R}{2} \left( \frac{b}{a} \right)^2 \right\}^2 - \frac{D_x D_y}{H^2} m^2 \left( m^2 - \frac{H}{D_y} R \right)} \right]}$$

$$\beta = x/a, \eta = y/b, R = N_x a^2 / H \pi^2, Q = N_y b^2 / H \pi^2$$

以上の式(2), (3)より結局、式(1)の一般解は次式で表わされる。

$$w = \sum_{n=1}^{\infty} \left( C_{n1} \cosh n\pi \lambda_1 z + C_{n2} \sinh n\pi \lambda_1 z + C_{n3} \cosh n\pi \lambda_2 z + C_{n4} \sinh n\pi \lambda_2 z \right) \sin n\pi \beta + \sum_{m=1}^{\infty} \left( D_{m1} \cosh m\pi \mu_1 \eta + D_{m2} \sinh m\pi \mu_1 \eta + D_{m3} \cosh m\pi \mu_2 \eta + D_{m4} \sinh m\pi \mu_2 \eta \right) \sin m\pi \eta \quad (4)$$

いま  $x = 0, a$  および  $y = 0, b$  における境界条件を任意として取扱えるごとく正弦 Fourier 級数を

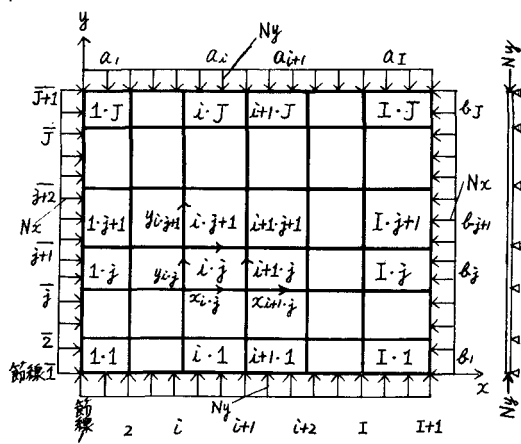


図-1

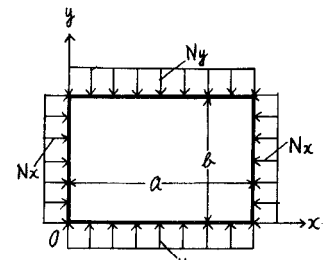


図-2

用いて次式にて一般表示するものとする。

$$\left. \begin{aligned} (w)_{x=0} &= \sum_{n=1}^{\infty} \delta_{An} \sin n\pi \eta, \quad -Dx(\frac{\partial^2 w}{\partial x^2} + V_y \frac{\partial^2 w}{\partial y^2})_{x=0} = \sum_{n=1}^{\infty} M_{An} \sin n\pi \eta \\ (w)_{x=a} &= \sum_{n=1}^{\infty} \delta_{Bn} \sin n\pi \eta, \quad -Dx(\frac{\partial^2 w}{\partial x^2} + V_y \frac{\partial^2 w}{\partial y^2})_{x=a} = \sum_{n=1}^{\infty} M_{Bn} \sin n\pi \eta \\ (w)_{y=0} &= \sum_{m=1}^{\infty} \delta_{Cm} \sin m\pi \xi, \quad -Dy(\frac{\partial^2 w}{\partial y^2} + V_x \frac{\partial^2 w}{\partial x^2})_{y=0} = \sum_{m=1}^{\infty} M_{Cm} \sin m\pi \xi \\ (w)_{y=b} &= \sum_{m=1}^{\infty} \delta_{Dm} \sin m\pi \xi, \quad -Dy(\frac{\partial^2 w}{\partial y^2} + V_x \frac{\partial^2 w}{\partial x^2})_{y=b} = \sum_{m=1}^{\infty} M_{Dm} \sin m\pi \xi \end{aligned} \right\} \quad (5)$$

式(4)と式(5)に代入すれば積分定数  $C_{n1} \sim C_{n4}$  および  $D_{m1} \sim D_{m4}$  が次のようく決定される。

$$\left. \begin{aligned} C_{n1} &= -\frac{1}{\lambda_1^2 - \lambda_2^2} \left( \frac{a^2}{\pi^2} \frac{M_{An}}{Dx} - \frac{\lambda_2^2 - V_y (\frac{Ma}{\pi})^2}{\lambda_1^2 - \lambda_2^2} \delta_{An} \right) \\ C_{n2} &= \frac{1}{(\lambda_1^2 - \lambda_2^2) \sinh \pi \lambda_1} \left( \frac{a^2}{\pi^2} \frac{M_{An}}{Dx} \coth \pi \lambda_1 - \frac{M_{Bn}}{Dx} \right) + \frac{\lambda_2^2 - V_y (\frac{Ma}{\pi})^2}{(\lambda_1^2 - \lambda_2^2) \sinh \pi \lambda_1} (\delta_{An} \coth \pi \lambda_1 - \delta_{Bn}) \\ C_{n3} &= \frac{1}{\lambda_1^2 - \lambda_2^2} \left( \frac{a^2}{\pi^2} \frac{M_{An}}{Dx} - \frac{\lambda_1^2 - V_y (\frac{Ma}{\pi})^2}{\lambda_1^2 - \lambda_2^2} \delta_{An} \right) \\ C_{n4} &= -\frac{1}{(\lambda_1^2 - \lambda_2^2) \sinh \pi \lambda_2} \left( \frac{a^2}{\pi^2} \frac{M_{An}}{Dx} \coth \pi \lambda_2 - \frac{M_{Bn}}{Dx} \right) - \frac{\lambda_1^2 - V_y (\frac{Ma}{\pi})^2}{(\lambda_1^2 - \lambda_2^2) \sinh \pi \lambda_2} (\delta_{An} \coth \pi \lambda_2 - \delta_{Bn}) \\ D_{m1} &= -\frac{1}{M_1^2 - M_2^2} \left( \frac{b}{\pi} \right) \frac{M_{Cm}}{Dy} - \frac{\lambda_2^2 - V_x (\frac{Mb}{\pi})^2}{M_1^2 - M_2^2} \delta_{Cm} \\ D_{m2} &= \frac{1}{(M_1^2 - M_2^2) \sinh \pi \lambda_1} \left( \frac{b}{\pi} \right)^2 \frac{M_{Cm}}{Dy} \coth \pi \lambda_1 - \frac{M_{Dm}}{Dy} + \frac{\lambda_2^2 - V_x (\frac{Mb}{\pi})^2}{(M_1^2 - M_2^2) \sinh \pi \lambda_1} (\delta_{Cm} \coth \pi \lambda_1 - \delta_{Dm}) \\ D_{m3} &= \frac{1}{M_1^2 - M_2^2} \left( \frac{b}{\pi} \right)^2 \frac{M_{Cm}}{Dy} - \frac{\lambda_1^2 - V_x (\frac{Mb}{\pi})^2}{M_1^2 - M_2^2} \delta_{Cm} \\ D_{m4} &= -\frac{1}{(M_1^2 - M_2^2) \sinh \pi \lambda_2} \left( \frac{b}{\pi} \right)^2 \frac{M_{Cm}}{Dy} \coth \pi \lambda_2 - \frac{\lambda_1^2 - V_x (\frac{Mb}{\pi})^2}{(M_1^2 - M_2^2) \sinh \pi \lambda_2} (\delta_{Cm} \coth \pi \lambda_2 - \delta_{Dm}) \end{aligned} \right\} \quad (6)$$

次いで邊  $x=0$ ,  $a$  および  $y=0$ ,  $b$  における、たわみ角および反力を正弦 Fourier 級数を用いて次式のようく表わされるものとする。

$$\left. \begin{aligned} (\frac{\partial w}{\partial x})_{x=0} &= \sum_{n=1}^{\infty} \theta_{An} \sin n\pi \eta & (\frac{\partial w}{\partial y})_{y=0} &= \sum_{m=1}^{\infty} \theta_{Cm} \sin m\pi \xi \\ (\frac{\partial w}{\partial x})_{x=a} &= \sum_{n=1}^{\infty} \theta_{Bn} \sin n\pi \eta & (\frac{\partial w}{\partial y})_{y=b} &= \sum_{m=1}^{\infty} \theta_{Dm} \sin m\pi \xi \\ -Dx \left[ \frac{\partial^3 w}{\partial x^3} + 4(1-V_x V_y) \frac{G_{xy}}{E_x} \frac{\partial^2 w}{\partial x^2} \right]_{x=0} &= \sum_{n=1}^{\infty} V_{An} \sin n\pi \eta, \quad -Dy \left[ \frac{\partial^3 w}{\partial y^3} + 4(1-V_x V_y) \frac{G_{xy}}{E_y} \frac{\partial^2 w}{\partial y^2} \right]_{y=0} = \sum_{m=1}^{\infty} V_{Cm} \sin m\pi \xi \\ -Dx \left[ \frac{\partial^3 w}{\partial x^3} + 4(1-V_x V_y) \frac{G_{xy}}{E_x} \frac{\partial^2 w}{\partial x^2} \right]_{x=a} &= \sum_{n=1}^{\infty} V_{Bn} \sin n\pi \eta, \quad -Dy \left[ \frac{\partial^3 w}{\partial y^3} + 4(1-V_x V_y) \frac{G_{xy}}{E_y} \frac{\partial^2 w}{\partial y^2} \right]_{y=b} = \sum_{m=1}^{\infty} V_{Dm} \sin m\pi \xi \end{aligned} \right\} \quad (7)$$

式(4)を変形し、式(7)の左辺に代入して解けば、材端におけるたわみ角係数  $\theta_{An}$ ,  $\theta_{Bn}$ ,  $\theta_{Cm}$ ,  $\theta_{Dm}$  および反力係数  $V_{An}$ ,  $V_{Bn}$ ,  $V_{Cm}$ ,  $V_{Dm}$  と曲げモーメント係数  $M_{An}$ ,  $M_{Bn}$ ,  $M_{Cm}$ ,  $M_{Dm}$  およびたわみ係数  $\delta_{An}$ ,  $\delta_{Bn}$ ,  $\delta_{Cm}$ ,  $\delta_{Dm}$  との関係式が次のようく導かれる。

#### たわみ角一端モーメント関係式

$$\left. \begin{aligned} \theta_{An} &= A_n \frac{M_{An}}{Dx \pi} \alpha + B_n \frac{M_{Bn}}{Dx \pi} \alpha + C_n \frac{\delta_{An}}{\alpha} + D_n \frac{\delta_{Bn}}{\alpha} + \sum_{m=1}^{\infty} \left[ E_{mn} \frac{a}{Dy \pi} (M_{Cm} - (-1)^m M_{Dm}) + F_{mn} \left( \frac{\delta_{Cm}}{\alpha} - (-1)^m \frac{\delta_{Dm}}{\alpha} \right) \right] \\ \theta_{Bn} &= -B_n \frac{M_{An}}{Dx \pi} \alpha - A_n \frac{M_{Bn}}{Dx \pi} \alpha - D_n \frac{\delta_{An}}{\alpha} - C_n \frac{\delta_{Bn}}{\alpha} + \sum_{m=1}^{\infty} (-1)^m \left[ E_{mn} \frac{a}{Dy \pi} (M_{Cm} - (-1)^m M_{Dm}) + F_{mn} \left( \frac{\delta_{Cm}}{\alpha} - (-1)^m \frac{\delta_{Dm}}{\alpha} \right) \right] \\ \theta_{Cm} &= G_m \frac{M_{Cm}}{Dy \pi} \alpha + H_m \frac{M_{Dm}}{Dy \pi} \alpha + I_m \frac{\delta_{Cm}}{\alpha} + J_m \frac{\delta_{Dm}}{\alpha} + \sum_{n=1}^{\infty} \left[ K_{mn} \frac{a}{Dx \pi} (M_{An} - (-1)^m M_{Bn}) + L_{mn} \left( \frac{\delta_{An}}{\alpha} - (-1)^m \frac{\delta_{Bn}}{\alpha} \right) \right] \\ \theta_{Dm} &= -H_m \frac{M_{Cm}}{Dy \pi} \alpha - G_m \frac{M_{Dm}}{Dy \pi} \alpha - J_m \frac{\delta_{Cm}}{\alpha} - I_m \frac{\delta_{Dm}}{\alpha} + \sum_{n=1}^{\infty} (-1)^m \left[ K_{mn} \frac{a}{Dx \pi} (M_{An} - (-1)^m M_{Bn}) + L_{mn} \left( \frac{\delta_{An}}{\alpha} - (-1)^m \frac{\delta_{Bn}}{\alpha} \right) \right] \end{aligned} \right\} \quad (8)$$

#### 反力一端モーメント関係式

$$\left. \begin{aligned} -\frac{\alpha^2}{Dx \pi^2} V_{An} &= R_n \frac{M_{An}}{Dx \pi} \alpha + S_n \frac{M_{Bn}}{Dx \pi} \alpha + T_n \frac{\delta_{An}}{\alpha} + U_n \frac{\delta_{Bn}}{\alpha} + \sum_{m=1}^{\infty} \left[ V_{mn} \frac{a}{Dy \pi} (M_{Cm} - (-1)^m M_{Dm}) + W_{mn} \left( \frac{\delta_{Cm}}{\alpha} - (-1)^m \frac{\delta_{Dm}}{\alpha} \right) \right] \\ -\frac{\alpha^2}{Dx \pi^2} V_{Bn} &= -S_n \frac{M_{An}}{Dx \pi} \alpha - R_n \frac{M_{Bn}}{Dx \pi} \alpha - U_n \frac{\delta_{An}}{\alpha} - T_n \frac{\delta_{Bn}}{\alpha} + \sum_{m=1}^{\infty} (-1)^m \left[ V_{mn} \frac{a}{Dy \pi} (M_{Cm} - (-1)^m M_{Dm}) + W_{mn} \left( \frac{\delta_{Cm}}{\alpha} - (-1)^m \frac{\delta_{Dm}}{\alpha} \right) \right] \\ -\frac{\alpha^2}{Dy \pi^2} V_{Cm} &= M_m \frac{M_{Cm}}{Dy \pi} \alpha + N_m \frac{M_{Dm}}{Dy \pi} \alpha + P_m \frac{\delta_{Cm}}{\alpha} + Q_m \frac{\delta_{Dm}}{\alpha} + \sum_{n=1}^{\infty} \left[ X_{mn} \frac{a}{Dx \pi} (M_{An} - (-1)^m M_{Bn}) + Y_{mn} \left( \frac{\delta_{An}}{\alpha} - (-1)^m \frac{\delta_{Bn}}{\alpha} \right) \right] \\ -\frac{\alpha^2}{Dy \pi^2} V_{Dm} &= -N_m \frac{M_{Cm}}{Dy \pi} \alpha - M_m \frac{M_{Dm}}{Dy \pi} \alpha - Q_m \frac{\delta_{Cm}}{\alpha} - P_m \frac{\delta_{Dm}}{\alpha} + \sum_{n=1}^{\infty} (-1)^m \left[ X_{mn} \frac{a}{Dx \pi} (M_{An} - (-1)^m M_{Bn}) + Y_{mn} \left( \frac{\delta_{An}}{\alpha} - (-1)^m \frac{\delta_{Bn}}{\alpha} \right) \right] \end{aligned} \right\} \quad (9)$$

式(8)は直線部材におけるいわゆる座屈たわみ角式に相当し、右辺の諸係数はすべて所要の固有値  $R$ ,  $Q$  を含んで次式の内容をもつ。

$$\begin{aligned}
A_n &= \frac{1}{\lambda_1^2 - \lambda_2^2} (\lambda_1 \coth \pi \lambda_1 - \lambda_2 \coth \pi \lambda_2) & B_m &= \frac{-1}{\lambda_1^2 - \lambda_2^2} (\lambda_1 \coth \pi \lambda_1 - \lambda_2 \coth \pi \lambda_2) \\
C_n &= \frac{\pi}{\lambda_1^2 - \lambda_2^2} \left\{ \lambda_1 \left( \lambda_1^2 - \nu_y \left( \frac{m}{\alpha} \right)^2 \right) \coth \pi \lambda_1 - \lambda_2 \left( \lambda_1^2 - \nu_y \left( \frac{m}{\alpha} \right)^2 \right) \coth \pi \lambda_2 \right\}, & D_n &= \frac{-\pi}{\lambda_1^2 - \lambda_2^2} \left\{ \lambda_1^2 \left( \lambda_1^2 - \nu_y \left( \frac{m}{\alpha} \right)^2 \right) \coth \pi \lambda_1 - \lambda_2 \left( \lambda_1^2 - \nu_y \left( \frac{m}{\alpha} \right)^2 \right) \coth \pi \lambda_2 \right\} \\
E_{mn} &= \frac{2\pi}{\alpha} \frac{a}{(M_1^2 + m^2)(M_2^2 + n^2)} & F_{mn'} &= \frac{2\pi}{\alpha} \frac{m n'}{(M_1^2 + n^2)(M_2^2 + m^2)} \left\{ M_1^2 + M_2^2 + n^2 - \nu_x \left( \frac{m}{\alpha} \right)^2 \right\} \\
G_m &= \frac{1}{M_1^2 - M_2^2} (\mu_1 \coth \pi \mu_1 - \mu_2 \coth \pi \mu_2) & H_m &= \frac{-1}{M_1^2 - M_2^2} (\mu_1 \coth \pi \mu_1 - \mu_2 \coth \pi \mu_2) \\
I_m &= \frac{\pi}{M_1^2 - M_2^2} \left\{ \mu_1 \left( M_1^2 - \nu_x \left( \frac{m}{\alpha} \right)^2 \right) \coth \pi M_1 - \mu_2 \left( M_2^2 - \nu_x \left( \frac{m}{\alpha} \right)^2 \right) \coth \pi M_2 \right\}, & J_m &= \frac{-\pi}{M_1^2 - M_2^2} \left\{ \mu_1 \left( M_1^2 - \nu_x \left( \frac{m}{\alpha} \right)^2 \right) \coth \pi \mu_1 - \mu_2 \left( M_2^2 - \nu_x \left( \frac{m}{\alpha} \right)^2 \right) \coth \pi \mu_2 \right\} \\
K_{mn} &= \frac{2}{\pi} \frac{a}{\alpha} \frac{m n}{(M_1^2 + m^2)(M_2^2 + n^2)} & L_{mn} &= \frac{2a}{\alpha} \frac{m n}{(M_1^2 + m^2)(M_2^2 + n^2)} \left\{ \lambda_1^2 + \lambda_2^2 + m^2 - \nu_y \left( \frac{m}{\alpha} \right)^2 \right\}
\end{aligned}$$

式(9)の諸係数も同様に  $R, Q$  の函数として表示され次式となる。

$$\begin{aligned}
R_n &= \frac{1}{\lambda_1^2 - \lambda_2^2} \left[ \lambda_1 \left\{ \lambda_1^2 - kx \left( \frac{m}{\alpha} \right)^2 \right\} \coth \pi \lambda_1 - \lambda_2 \left\{ \lambda_1^2 - kx \left( \frac{m}{\alpha} \right)^2 \right\} \coth \pi \lambda_2 \right], S_n = \frac{-\pi}{\lambda_1^2 - \lambda_2^2} \left[ \lambda_1 \left\{ \lambda_1^2 - kx \left( \frac{m}{\alpha} \right)^2 \right\} \coth \pi \lambda_1 - \lambda_2 \left\{ \lambda_1^2 - kx \left( \frac{m}{\alpha} \right)^2 \right\} \coth \pi \lambda_2 \right] \\
T_n &= \frac{\pi}{\lambda_1^2 - \lambda_2^2} \left[ \lambda_1 \left\{ \lambda_1^2 - kx \left( \frac{m}{\alpha} \right)^2 \right\} \left\{ \lambda_1^2 - \nu_y \left( \frac{m}{\alpha} \right)^2 \right\} \coth \pi \lambda_1 - \lambda_2 \left\{ \lambda_1^2 - kx \left( \frac{m}{\alpha} \right)^2 \right\} \left\{ \lambda_1^2 - \nu_y \left( \frac{m}{\alpha} \right)^2 \right\} \coth \pi \lambda_2 \right] \\
U_n &= \frac{-\pi}{\lambda_1^2 - \lambda_2^2} \left[ \lambda_1 \left\{ \lambda_1^2 - kx \left( \frac{m}{\alpha} \right)^2 \right\} \left\{ \lambda_1^2 - \nu_y \left( \frac{m}{\alpha} \right)^2 \right\} \coth \pi \lambda_1 - \lambda_2 \left\{ \lambda_1^2 - kx \left( \frac{m}{\alpha} \right)^2 \right\} \left\{ \lambda_1^2 - \nu_y \left( \frac{m}{\alpha} \right)^2 \right\} \coth \pi \lambda_2 \right] \\
V_{mn} &= -\frac{2}{\pi} \frac{a}{\alpha} \frac{m n'}{(M_1^2 + m^2)(M_2^2 + n^2)} \left\{ m^2 + kx \left( \frac{m}{\alpha} \right)^2 \right\} & X_{mn} &= -\frac{2}{\pi} \frac{a}{\alpha} \frac{m n}{(M_1^2 + m^2)(M_2^2 + n^2)} \left\{ n^2 + kx \left( \frac{m}{\alpha} \right)^2 \right\} \\
W_{mn} &= -\frac{2b}{\alpha} \frac{m n'}{(M_1^2 + m^2)(M_2^2 + n^2)} \left[ m^2 \left( M_1^2 + M_2^2 \right) - kx \left( \frac{m}{\alpha} \right)^2 M_1^2 + \left\{ n^2 \left( 1 - \nu_x kx \right) - \nu_x \left( \frac{m}{\alpha} \right)^2 \right\} m^2 \right] \\
Y_{mn} &= -\frac{2a}{\alpha} \frac{m n}{(M_1^2 + m^2)(M_2^2 + n^2)} \left[ n^2 \left( M_1^2 + M_2^2 \right) - kx \left( \frac{m}{\alpha} \right)^2 \lambda_1^2 \lambda_2^2 + \left\{ m^2 \left( 1 - \nu_y kx \right) - \nu_y \left( \frac{m}{\alpha} \right)^2 \right\} n^2 \right] \\
M_m &= \frac{1}{M_1^2 - M_2^2} \left[ \mu_1 \left\{ M_1^2 - \nu_y \left( \frac{m}{\alpha} \right)^2 \right\} \coth \pi \mu_1 - \mu_2 \left\{ M_2^2 - \nu_y \left( \frac{m}{\alpha} \right)^2 \right\} \coth \pi \mu_2 \right], N_m = \frac{-1}{M_1^2 - M_2^2} \left[ \mu_1 \left\{ M_1^2 - \nu_y \left( \frac{m}{\alpha} \right)^2 \right\} \coth \pi \mu_1 - \mu_2 \left\{ M_2^2 - \nu_y \left( \frac{m}{\alpha} \right)^2 \right\} \coth \pi \mu_2 \right] \\
P_m &= \frac{\pi}{M_1^2 - M_2^2} \left[ \mu_1 \left\{ M_1^2 - \nu_y \left( \frac{m}{\alpha} \right)^2 \right\} \left\{ M_2^2 - \nu_x \left( \frac{m}{\alpha} \right)^2 \right\} \coth \pi \mu_1 - \mu_2 \left\{ M_2^2 - \nu_y \left( \frac{m}{\alpha} \right)^2 \right\} \left\{ M_1^2 - \nu_x \left( \frac{m}{\alpha} \right)^2 \right\} \coth \pi \mu_2 \right] \\
Q_m &= \frac{-\pi}{M_1^2 - M_2^2} \left[ \mu_1 \left\{ M_1^2 - \nu_y \left( \frac{m}{\alpha} \right)^2 \right\} \left\{ M_2^2 - \nu_x \left( \frac{m}{\alpha} \right)^2 \right\} \coth \pi \mu_1 - \mu_2 \left\{ M_2^2 - \nu_y \left( \frac{m}{\alpha} \right)^2 \right\} \left\{ M_1^2 - \nu_x \left( \frac{m}{\alpha} \right)^2 \right\} \coth \pi \mu_2 \right]
\end{aligned}$$

$$\text{但し } kx = 4(1 - \nu_x \nu_y) \frac{G_{xy}}{E_x} + \nu_y, \quad ky = 4(1 - \nu_x \nu_y) \frac{G_{xy}}{E_y} + \nu_x$$

### 3. 連続条件および端辺条件

図-2のごとき  $x, y$  座標を図-1 の二方向連続板の各ブロックごとに設け、 $x_{i+j} = a_i, y_{i+j} = b_j$  なら 3 節線がそれぞれ  $x_{i+j+1} = 0, y_{i+j+1} = 0$  と一致するごとく定めれば各ブロックごとに材端のたわみと角係数  $(\theta_{An})_{i+j}, (\theta_{Bn})_{i+j}, (\theta_{Cn})_{i+j}, (\theta_{Dn})_{i+j}$  端モーメント係数  $(M_{An})_{i+j}, (M_{Bn})_{i+j}, (M_{Cn})_{i+j}, (M_{Dn})_{i+j}$  反力係数  $(V_{An})_{i+j}, (V_{Bn})_{i+j}, (V_{Cn})_{i+j}, (V_{Dn})_{i+j}$  たわみ係数  $(\delta_{An})_{i+j}, (\delta_{Bn})_{i+j}, (\delta_{Cn})_{i+j}, (\delta_{Dn})_{i+j}$  などが前記2の内容で定義される。ブロック  $i-j$  板と  $i-j+1$  板およびブロック  $i-j+1$  板の節線  $j+1$  および節線  $j+2$  では  $(M_{Bn})_{i+j} - (M_{An})_{i+j+1} - (M_{Dn})_{i+j+1}, (M_{Dn})_{i+j} - (M_{Cn})_{i+j+1}, (\delta_{Bn})_{i+j} = (\delta_{An})_{i+j+1}, (\delta_{Dn})_{i+j+1}, (\delta_{Cn})_{i+j+1} = (\delta_{Dn})_{i+j+1}$  となりこれらを考慮してたわみ角の連続条件式  $(\theta_{Bn})_{i+j} = (\theta_{An})_{i+j+1}, (\theta_{Dn})_{i+j} = (\theta_{Cn})_{i+j+1}$  を立てれば次の関係式が  $i = 1, 2, 3, \dots, I-1$  ( $I$  は  $x$  方向の連続板の径間数),  $j = 1, 2, 3, \dots, J-1$  ( $J$  は  $y$  方向の連続板の径間数) に対して成立する。

$$\begin{aligned}
& B_{ij} (M_{Bn})_{i+j} + (\overline{A_{i+j}} + \overline{A_{i+j}}) (M_{Bn})_{i+j+1} + \overline{B_{i+j}} (M_{Bn})_{i+j+2} + \overline{D_{i+j}} (\delta_{Bn})_{i+j} + (\overline{C_{i+j}} + \overline{C_{i+j}}) (\delta_{Bn})_{i+j+1} + \overline{D_{i+j}} (\delta_{Bn})_{i+j+2} \\
& + \sum_{k=1}^{\infty} [ \overline{E_{i+j}} ((M_{Bn})_{i+j} - (-1)^k (M_{Bn})_{i+j+1}) - (-1)^m \overline{E_{i+j}} ((M_{Bn})_{i+j} - (-1)^k (M_{Bn})_{i+j+1}) ] \\
& + \sum_{k=1}^{\infty} [ \overline{F_{i+j}} ((\delta_{Bn})_{i+j} - (-1)^k (\delta_{Bn})_{i+j+1}) - (-1)^m \overline{F_{i+j}} ((\delta_{Bn})_{i+j} - (-1)^k (\delta_{Bn})_{i+j+1}) ] = 0 \quad (10) \\
& \overline{H_{i+j}} (M_{Bn})_{i+j} + (\overline{G_{i+j}} + \overline{G_{i+j}}) (M_{Bn})_{i+j+1} + \overline{H_{i+j}} (M_{Bn})_{i+j+2} + \overline{J_{i+j}} (\delta_{Bn})_{i+j} + (\overline{L_{i+j}} + \overline{L_{i+j}}) (\delta_{Bn})_{i+j+1} + \overline{J_{i+j}} (\delta_{Bn})_{i+j+2} \\
& + \sum_{k=1}^{\infty} [ \overline{K_{i+j}} ((M_{Bn})_{i+j} - (-1)^k (M_{Bn})_{i+j+1}) - (-1)^m \overline{K_{i+j}} ((M_{Bn})_{i+j} - (-1)^k (M_{Bn})_{i+j+1}) ] \\
& + \sum_{k=1}^{\infty} [ \overline{L_{i+j}} ((\delta_{Bn})_{i+j} - (-1)^k (\delta_{Bn})_{i+j+1}) - (-1)^m \overline{L_{i+j}} ((\delta_{Bn})_{i+j} - (-1)^k (\delta_{Bn})_{i+j+1}) ] = 0
\end{aligned}$$

$$\begin{aligned} \bar{A}_{ij} &= (A_n)_{i,j} a_i / \pi \cdot D_{xi}, \quad \bar{B}_{ij} = (B_n)_{i,j} a_i / \pi \cdot D_{xi}, \quad \bar{C}_{ij} = (C_n)_{i,j} / a_i, \quad \bar{D}_{ij} = (D_n)_{i,j} / a_i \\ \bar{E}_{ij} &= (E_n)_{i,j} b_j / \pi D_{yj}, \quad \bar{H}_{ij} = (H_n)_{i,j} b_j / \pi D_{yj}, \quad \bar{F}_{ij} = (F_n)_{i,j} b_i / a_i, \quad \bar{I}_{ij} = (I_n)_{i,j} b_i / a_i \\ \bar{G}_{ij} &= (G_n)_{i,j} b_j / \pi D_{yj}, \quad \bar{K}_{ij} = (K_n)_{i,j} a_i / \pi D_{xi}, \quad \bar{J}_{ij} = (J_n)_{i,j} b_j / a_i, \quad \bar{L}_{ij} = (L_n)_{i,j} b_j / a_i \end{aligned}$$

いま連続板は中間節線で単純支持されるものとすれば、式(6)の $\delta$ は連続板の周辺自由時に限り考慮すればよく中間節線上の $\delta$ はすべて消滅する。式(6)に加えて端辺条件式として次式が成り立つ。

すなわちブロック1, 2板の節線 $\perp$ を例にとって示せば

- (1) 単純支持された場合  $(M_n)_{1,j} - (\delta_n)_{1,j} = 0$
- (2) 固定された場合  $(\delta_n)_{1,j} = 0, (\theta_n)_{1,j} = \bar{A}_{1,j} (M_n)_{1,j} + \bar{B}_{1,j} (M_n)_{2,j} + \sum_{m=1}^{\infty} ((M_m)_{1,j} - (-1)^m (M_m)_{1,j+1}) = 0$
- (3) 自由の場合  $(M_n)_{1,j} = 0$

$$N((\bar{B}_{1,j}(M_n)_{2,j} + \bar{C}_{1,j}(\delta_n)_{1,j} + \sum_{m=1}^{\infty} \bar{E}_{1,j}((M_m)_{1,j} - (-1)^m (M_m)_{1,j+1})) + q_1 H_1 (\bar{S}_{1,j}(M_n)_{2,j} + \bar{T}_{1,j}(\delta_n)_{1,j} + \sum_{m=1}^{\infty} \bar{V}_{1,j}((M_m)_{1,j} - (-1)^m (M_m)_{1,j+1}))) = 0$$

他の端辺についても全く同様の条件式が成立する。よって式(6)および端辺条件式(II)がすべてでは0でない $(M_n)_{i,j}, (M_m)_{i,j}, (\delta_n)_{i,j}, (\delta_m)_{i,j}, (\delta_m)_{i-1}, (\delta_n)_{i+1}, (\delta_m)_{i+1},$ をもつためにはこれら諸式の係数行列式が0とならないゆゑに座屈条件式が成立し、これより所要の座屈荷重が決定される。

#### 4. 座屈波形

任意の座屈荷重に対応する連続板の座屈波形は式(4)より得られるが同式の積分定数 $C_{n1} \sim C_{n4}$ ,  $D_{m1} \sim D_{m4}$ は節線のモーメント係数 $(M_n)_{i,j}$ およびたわみ係数 $(\delta_n)_{i,j}$ すなわち前節で述べた連立一次方程式の根により式(6)のごとく表わされゆえ、結局前記同次方程式を解く必要がある。端辺条件式および連続条件式よりなる同次方程式の任意の一式は残りの式の一次結合によって表わされゆえ、任意の一式を除いて得られる連立一次方程式をとけば、ある特定未知数に対する残りのすべての未知数の比が決定され、上述のごとく式(4)より座屈波形が算定されることとなる。

#### 5. 結語

式(8)のたわみ角一端モーメント関係式を基礎として端辺が単純支持、固定もしくは自由で中間節線が単純に支持される二方向連続直交異方性矩形板が二方向から周辺直圧力を受ける場合の座屈荷重および座屈波形の算定式を提示した。材端の曲げモーメントとたわみとを未知数として取り扱う本法は積分定数をそのまま未知数とする微分方程式系の解法に比較して未知数を著しく減少しうる点で極めて有利であり、また座屈条件式たる多元行列式の各要素を全く機械的に配列できゆえ電子計算機のプログラミングに手間を要せず、予め準備された行列式計算のサブルーチンに直結させて迅速かつ高精度に座屈荷重を求めることができる。

(参考文献) (1) 山崎彦坂義城;「二方向連続等方性矩形板の安定」昭和41年度土木学会西部支部研究発表会論文集 昭和42年1月